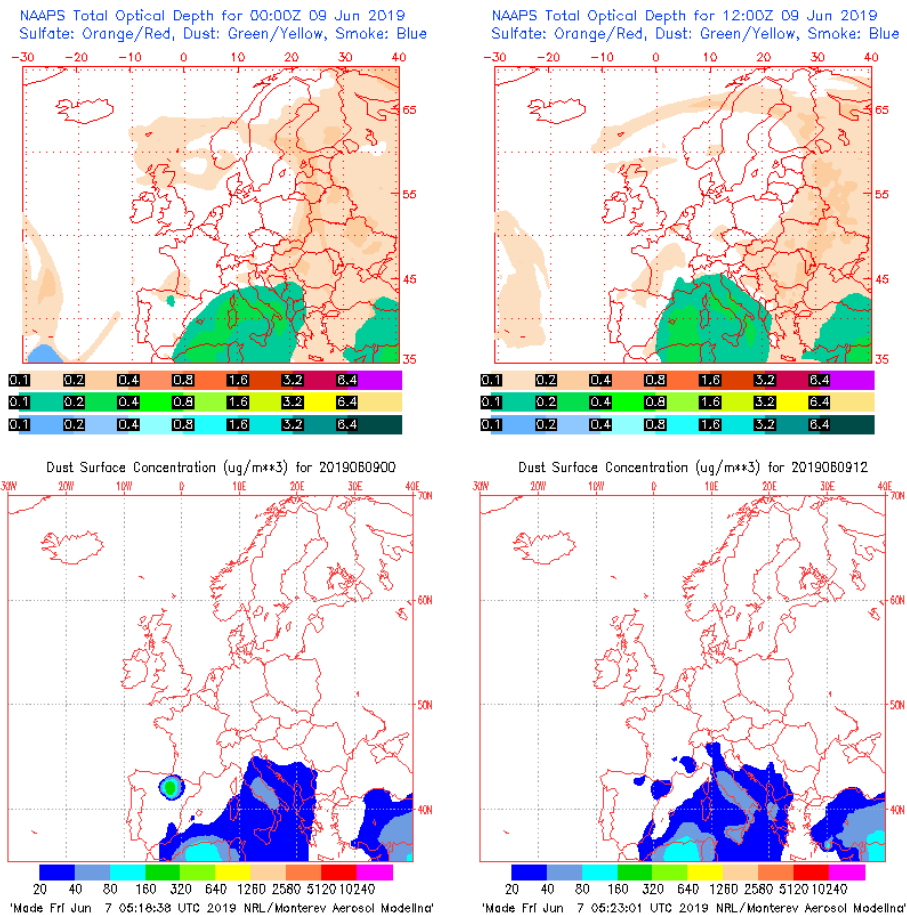


## Predicción de intrusión de masas de aire africano sobre España, para el día 09 de junio de 2019

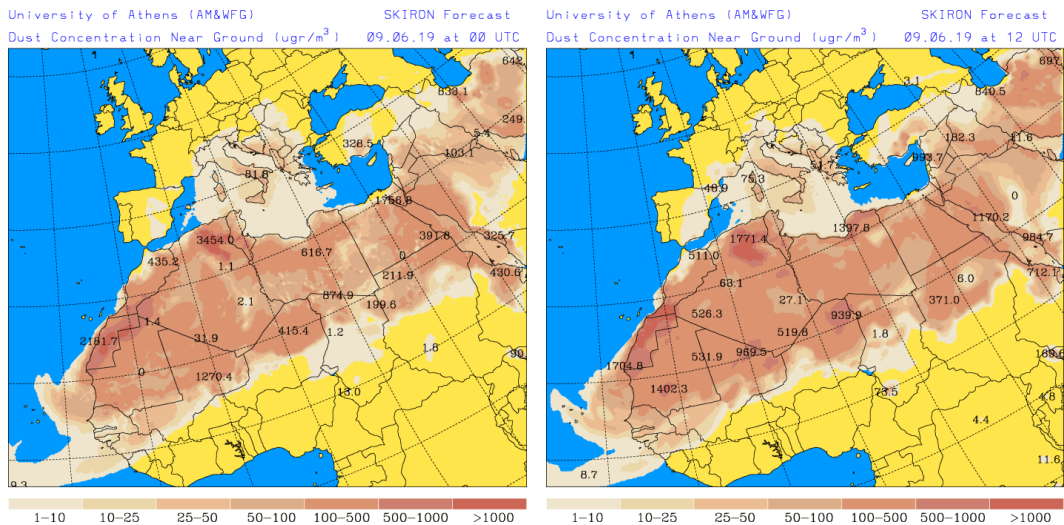
Se prevé que durante el próximo día 09 de junio se produzcan flujos de aire de componente S de origen africano, sobre el sector occidental de la cuenca mediterránea. Por ello, podría producirse un transporte de polvo africano sobre zonas del SE y NE de la Península y sobre las islas Baleares. Los modelos consultados prevén que se puedan registrar concentraciones de polvo mineral en el rango 10-40  $\mu\text{g}/\text{m}^3$ , en zonas del SE peninsular y del archipiélago balear y en el rango 20-80  $\mu\text{g}/\text{m}^3$  en regiones del NE de la Península. También se prevé que se produzcan eventos de depósito húmedo de polvo en zonas del N y NE peninsular y del archipiélago balear a primeras horas de la mañana y eventos de depósito seco de polvo en zonas del NE de la Península durante todo el día y en zonas del SE y de Levante por la tarde.

### 09 de junio de 2019

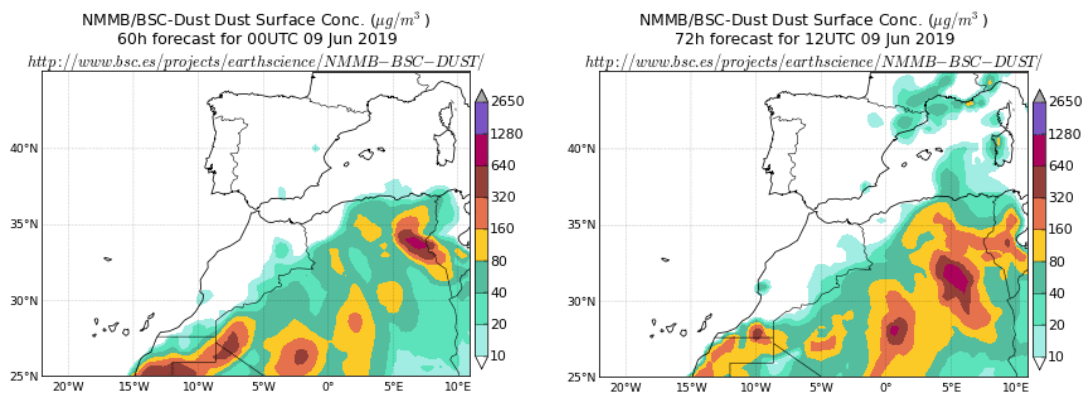
Espesor óptico de aerosoles a 550 nm (arriba) y concentración de polvo a nivel de superficie (abajo) previstos por el modelo NAAPS para el día 09 de junio de 2019 a las 00 (izquierda) y a las 12 (derecha) UTC. ©Naval Research Laboratory (NRL), Monterey, CA



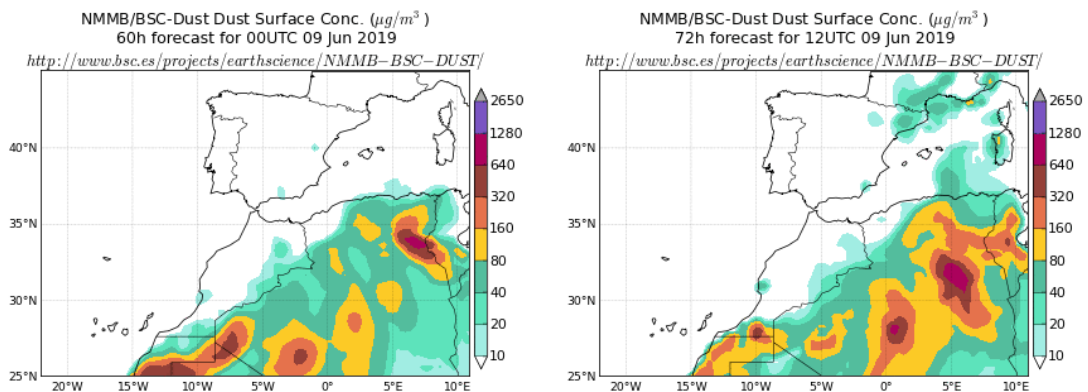
Concentración de polvo ( $\mu\text{g}/\text{m}^3$ ) predicha por el modelo Skiron para el día 09 de junio de 2019 a las 00 (izquierda) y a las 12 UTC (derecha). © Universidad de Atenas.



Concentración de polvo ( $\mu\text{g}/\text{m}^3$ ) predicha por el modelo BSC-DREAM8b v2.0 para el día 09 de junio de 2019 a las 00 (izquierda) y a las 12 UTC (derecha). © Barcelona Supercomputing Center.

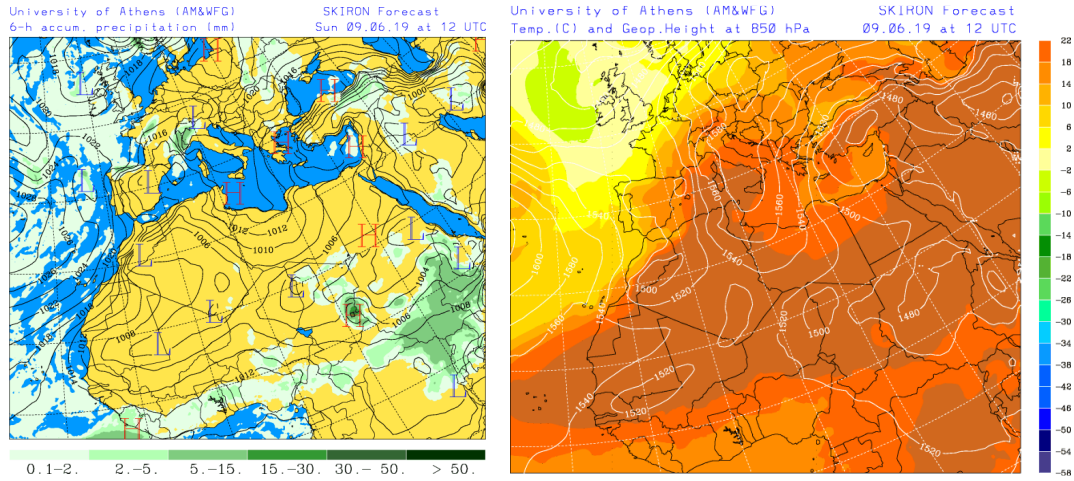


Concentración de polvo ( $\mu\text{g}/\text{m}^3$ ) predicha por el modelo NMMB/BSC-Dust para el día 09 de junio de 2019 a las 00 (izquierda) y a las 12 UTC (derecha). © Barcelona Dust Forecast Center.

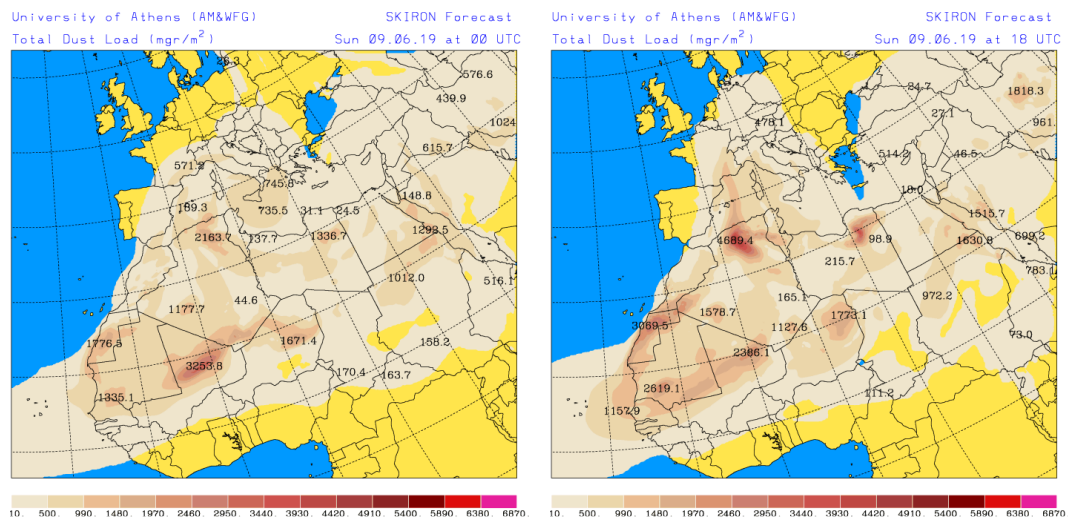


La formación de un centro de bajas presiones sobre Marruecos, unido a la de altas presiones sobre el centro de la cuenca mediterránea, producirá previsiblemente la advección de masas de aire de componente S y de origen africano sobre el sector occidental de la misma.

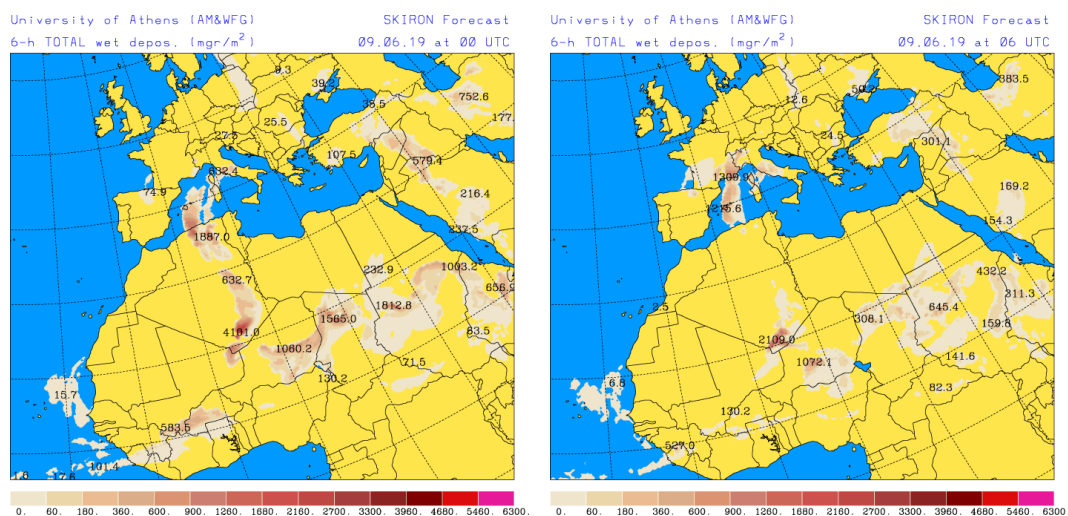
Campo de presión a nivel del mar (mb) y de precipitación (mm) (izquierda) y de temperaturas (°C) y de altura de geopotencial (m) a 850 hPa (derecha) previsto por el modelo Skiron para el día 09 de junio de 2019 a las 12 UTC. © Universidad de Atenas.



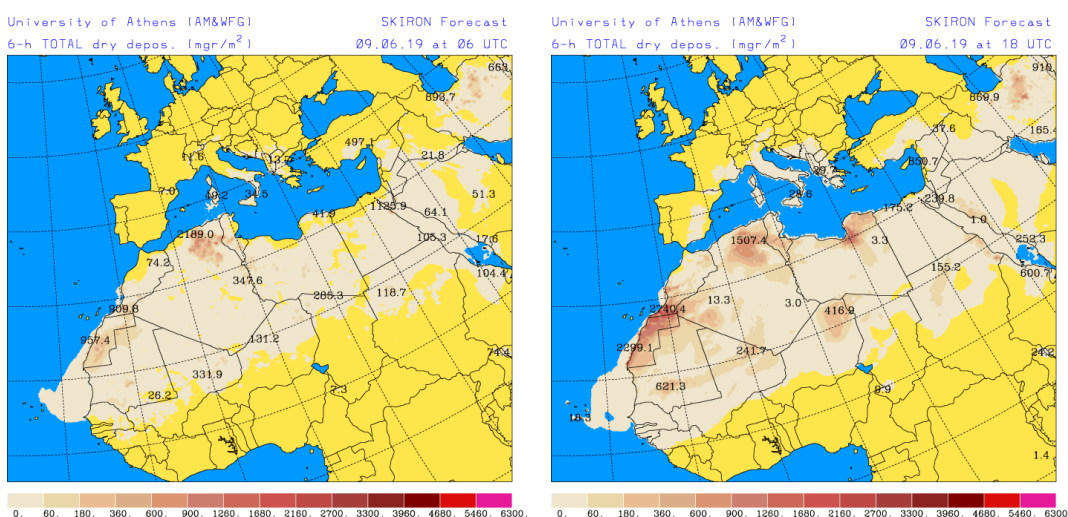
Carga total de polvo ( $\text{mgr/m}^2$ ) predicha por el modelo Skiron para el día 09 de junio de 2019 a las 00 (izquierda) y a las 18 UTC (derecha). © Universidad de Atenas.



Depósito húmedo de polvo ( $\text{mg}/\text{m}^2$ ) predicho por el modelo Skiron para el día 09 de junio de 2019 a las 00 (izquierda) y a las 06 UTC (derecha). © Universidad de Atenas.



Depósito seco de polvo ( $\text{mg}/\text{m}^2$ ) predicho por el modelo Skiron para el día 09 de junio de 2019 a las 06 (izquierda) y a las 18 UTC (derecha). © Universidad de Atenas.



A primeras horas de la mañana del día 09 de junio podrían producirse eventos de depósito húmedo de polvo en zonas del N y NE peninsular así como del archipiélago balear. Durante gran parte del día también se prevé que puedan tener lugar eventos de depósito seco de polvo en zonas del NE de la Península, mientras que por la tarde también podrían producirse en zonas del SE y de Levante.

Fecha de elaboración de la predicción: 07 de junio de 2019

Predicción elaborada por Pedro Salvador (CIEMAT)

Los datos son propiedad de la Dirección General de Calidad y Evaluación Ambiental, del Ministerio para la Transición Ecológica, y han sido obtenidos y se suministran en el marco del “Encargo del Ministerio para la Transición Ecológica a la Agencia Estatal Consejo Superior de Investigaciones Científicas para la detección de episodios naturales de aportes transfronterizos de partículas y otras fuentes de contaminación de material particulado, y de formación de ozono troposférico”.